

## บทที่ 4

### ผลการดำเนินงาน

#### 4.1 การออกแบบระบบเตาปฏิกรณ์

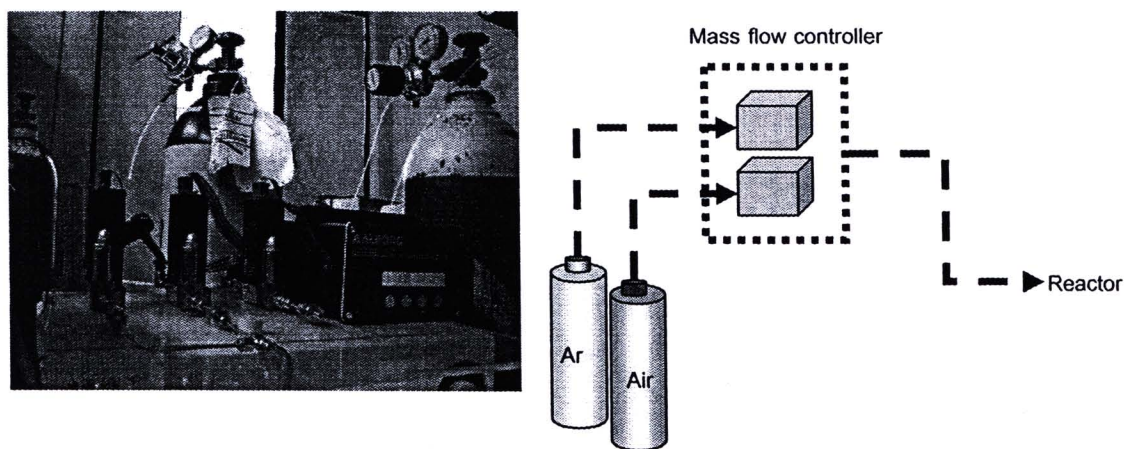
เนื่องจากระบบเตาปฏิกรณ์ที่จะใช้ในการทดลองนี้ต้องการที่จะให้เป็นระบบปิดที่ก้าชพา วัตถุดิบ และผลิตภัณฑ์ อยู่ในระบบที่มีทางออกทางเดียว กการออกแบบระบบจึงต้องเป็นระบบที่คำนึงถึง ภารรุ่งของก้าชพา ความปลอดภัย ความง่ายในการจัดหา และความสะดวกในการดำเนินการเป็นหลัก

##### 4.1.1 ระบบทางเดินของก้าชพา

###### 4.1.1.1 ก้าชพา

ก้าชพาที่ใช้เป็นก้าชอาร์กอน และก้าชแอร์ซีโอล (อากาศที่มีความสะอาด) เนื่องจากก้าชอาร์กอนเป็น ก้าชที่มีความ洁ยจึงปลอดภัย และไม่เกิดปฏิกิริยา กับผลิตภัณฑ์ และสารตั้งต้นในระบบได้ อีกทั้งยังไม่ รบกวนกับการวิเคราะห์ผลิตภัณฑ์ด้วยเครื่อง Gas Chromatography ที่ใช้ TCD detector (ชิ้นในกรณีของ Nitrogen นั้นอาจเกิดสัญญาณรบกวน) ส่วนแอร์ซีโอลนั้นก็เป็นก้าชที่มีความสะอาดและปลอดภัยเนื่องจาก เป็นเพียงอากาศ ดังนั้นก้าชทั้ง 2 ชนิดจึงเหมาะสมที่จะใช้เป็นก้าชพาให้กับระบบที่มีความร้อนและความ ดันเกิดขึ้น

ในส่วนของการควบคุมการไหลของก้าชนั้นใช้เครื่องควบคุมการไหลของก้าช (Mass flow controller) ของ AALBORC® ที่สามารถควบคุมการไหลของก้าชได้พร้อมกัน 3 ชนิด (3 channels) ชิ้น ระบบการควบคุมการไหลของก้าชได้แสดงไว้ดังรูปที่ 4.1



รูปที่ 4.1 แสดงการไหลของก้าชอาร์กอน และแอร์ซีโอล ผ่าน Mass flow controller

#### 4.1.1.2 สายก๊าซและข้อต่อ

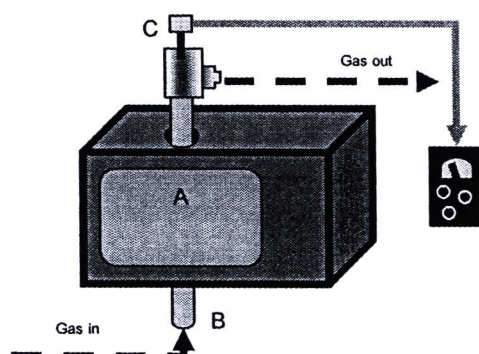
เนื่องจากผลิตภัณฑ์ส่วนใหญ่เป็นก๊าซ ดังนั้นข้อต่อและวาล์วที่ใช้จึงต้องเป็นข้อต่อที่ทำมาจากสแตนเลสและทองเหลือง ที่มีความแน่นหนาและมีความคงทน ในส่วนของท่อก๊านั้นใช้ท่อสแตนเลสในส่วนที่ติดตั้งอย่างถาวร และใช้ท่อชิลลิโคนในส่วนที่ต้องมีการกดเข้า-ออกอยู่เป็นประจำ

#### 4.1.1.3 การเก็บผลิตภัณฑ์

เมื่อผลิตภัณฑ์ที่ได้ออกมายากเตาปฏิกรณ์แล้ว จะมีทั้งก๊าซ และไออกไซด์คาร์บอนที่มีน้ำหนักไม่เท่ากัน ซึ่งต้องใช้ condenser เพื่อให้ผลิตภัณฑ์เหล่านี้เกิดการควบแน่นตกลงมา ซึ่ง condenser ที่ใช้นั้นเป็นสายชิลลิโคนที่เชื่อมต่อในอ่างน้ำแข็ง ซึ่งจะทำการห้ามปริมาณของเหลวเหล่านี้โดยใช้ Dichloromethane ล้างออกมายากสายชิลลิโคน ส่วนผลิตภัณฑ์ที่เป็นก๊าซจะเก็บใส่ถุงที่มีวาล์วเปิดปิดเพื่อนำไปรีเคราะห์ต่อไป และสำหรับผลิตภัณฑ์ที่ได้เป็นของแข็งที่อยู่ในหลอดแก้วควรจะทำการซั่งน้ำหนักเมื่อเสร็จสิ้นการแปรสภาพทางความร้อน

#### 4.1.2 การดัดแปลงเครื่องไมโครเวฟ

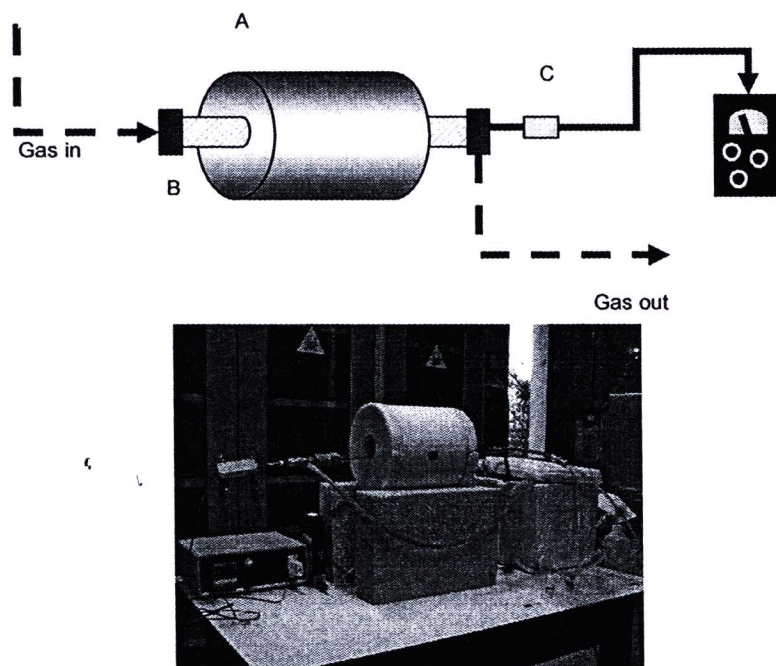
เครื่องไมโครเวฟที่ใช้เป็นแหล่งกำเนิดไมโครเวฟนั้นเป็นเตาไมโครเวฟที่ใช้ตามครัวเรือนทั่วไปซึ่งยังไม่สามารถใช้งานได้ทันทีจึงต้องมีการดัดแปลงให้มีความเหมาะสมและสะดวกต่อการดำเนินงาน ซึ่งเนื่องมาจากเตาปฏิกรณ์ที่ใช้นั้นทำมาจากหลอดแก้วควอซซึ่งมีเส้นผ่านศูนย์กลางภายใน 13 มม. และเส้นผ่านศูนย์กลางภายนอก 9 มม. ดังนั้นทางผู้วิจัยจึงได้ออกแบบให้เครื่องไมโครเวฟและหลอดแก้วควอซซ์อยู่ในแนวที่ตั้งจากกันดังรูปที่ 4.2 โดยให้ทางเข้าของก๊านั้นอยู่ทางด้านล่าง และมีทางออกอยู่ทางด้านบน ซึ่งมีข้อต่อ 3 ทางสำหรับหลอดแก้วควอซซ์ เทอร์โมคัปเปิล และเป็นทางออกก๊าซเข้าสู่ condenser



รูปที่ 4.2 แสดงการดัดแปลงเครื่องไมโครเวฟโดย A) เครื่องไมโครเวฟ B) หลอดแก้วควอซซ์ C) เทอร์โมคัปเปิล

#### 4.1.3 ระบบการให้ความร้อนโดยการใช้เตาไฟฟ้า

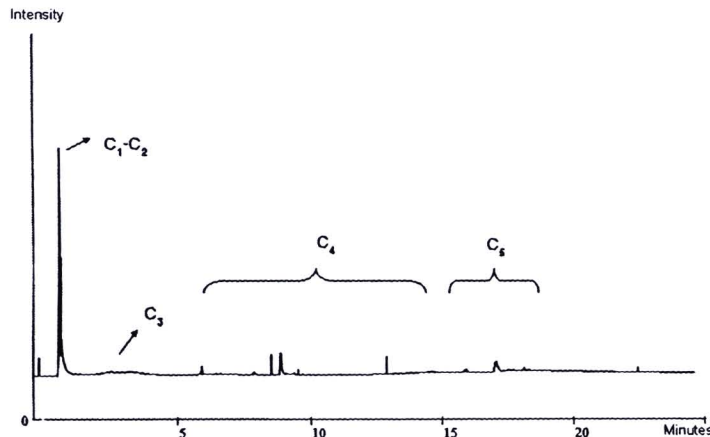
ระบบการให้ความร้อนโดยการใช้เตาไฟฟ้าใช้เตาปฏิกรณ์แบบ Horizontal fixed bed reactor ซึ่งมีระบบทางเดินของก๊าซคล้ายคลึงกับการใช้ระบบไมโครเวฟ ซึ่งเตาไฟฟ้าได้แสดงไว้ดังรูปที่ 4.3



รูปที่ 4.3 แสดงเตาไฟฟ้าที่ใช้ในการทดลอง A) เตาไฟฟ้า B) หลอดแก้วควอชซ์ C) เทอร์โมคัปเปิล

#### 4.2 การสอบเทียบอุปกรณ์ที่ใช้วัดก๊าซ (Gas Chromatography) กับก๊าซมาตรฐาน

การสอบเทียบก๊าซมาตรฐานกับก๊าซในครัว โดยการพิនัยและนี้ดำเนินการวัด  $\text{CO}_2$ ,  $\text{H}_2$ ,  $\text{CH}_4$ , และไฮโดรคาร์บอน  $\text{C}_1\text{-}\text{C}_5$  แต่ไม่สามารถวัด  $\text{CO}$  ได้เนื่องจากความสามารถของต่อเครื่องแก๊สchromatograph ยังไม่เป็นที่ชัดเจน จึงช่วงเวลา และการตอบสนองต่อเครื่องแก๊สchromatograph ของไฮโดรคาร์บอน  $\text{C}_1\text{-}\text{C}_5$  แสดงดังรูปที่ 4.4



รูปที่ 4.4 แสดงช่วงเวลาและการตอบสนองของ Hydrocarbon

จากรูปที่ 4.4 จะเห็นได้ว่า  $C_1-C_2$  นั้นจะมี peak ที่ใกล้เคียงกันมากจึงไม่สามารถที่จะบอกตำแหน่งที่แน่นอนได้ แต่  $C_3$ ,  $C_4$ , และ  $C_5$  สามารถบอกตำแหน่งที่แน่นอนได้ ซึ่งพื้นที่ได้กราฟที่ได้มีความสัมพันธ์กับความเข้มข้นโดยปริมาตรซึ่งจะได้นำมาเทียบกับพื้นที่ได้กราฟของก๊าซผลิตภัณฑ์ที่จะเก็บได้ในอนาคตซึ่งความเข้มข้นโดยปริมาตร และพื้นที่ได้กราฟของ  $C_1-C_2$ ,  $C_3$ ,  $C_4$ , และ  $C_5$  ได้แสดงไว้ดังตารางที่ 4.1

ตารางที่ 4.1 แสดงความเข้มข้นโดยปริมาตร และพื้นที่ได้กราฟของ  $C_1-C_2$ ,  $C_3$ ,  $C_4$ , และ  $C_5$

Species	Peak area	%Vol
$C_1-C_2$	3,491,466	16
$C_3$	67,228	6
$C_4$	511,820	35
$C_5$	450,403	3

#### 4.3 ธาตุองค์ประกอบ และสมบัติทางความร้อนของ EVA/NR

##### 4.3.1 การวิเคราะห์ธาตุองค์ประกอบของ EVA/NR

จากการวิเคราะห์ธาตุองค์ประกอบด้วยเครื่อง Elemental Analyzer ดังที่กล่าวมาแล้วในบทที่ 3 ผลการวิเคราะห์ได้แสดงไว้ดังตารางที่ 4.2 พบว่า EVA/NR นั้นมีธาตุที่เป็นองค์ประกอบส่วนใหญ่คือคาร์บอน ออกซิเจน และไฮโดรเจน ตามลำดับ ซึ่งจากการที่มีปริมาณของคาร์บอน และไฮโดรเจนในปริมาณที่สูงนี้ แสดงว่ารัศดุลย์สามารถที่จะเกิดการแปรสภาพทางความร้อน และแตกตัวเป็นก๊าซ หรือสารประกอบไม่เลกฤทธิ์ได้แก่  $CO$ ,  $H_2$ , และ  $C_xH_y$  ( $C_1-C_5$ ) ซึ่งสารเหล่านี้เมื่อเกิดการเผาไหม้จะเกิดปฏิกิริยาแบบchemistry ความร้อน (Exothermic reaction) สามารถนำไปใช้ประโยชน์ได้มากมายไม่ว่าในเรื่องของการนำไปเป็นเชื้อเพลิงสำหรับเครื่องยนต์เพื่อทดแทนการเชื้อเพลิงปิโตรเลียม และถ่านหิน หรือการนำ

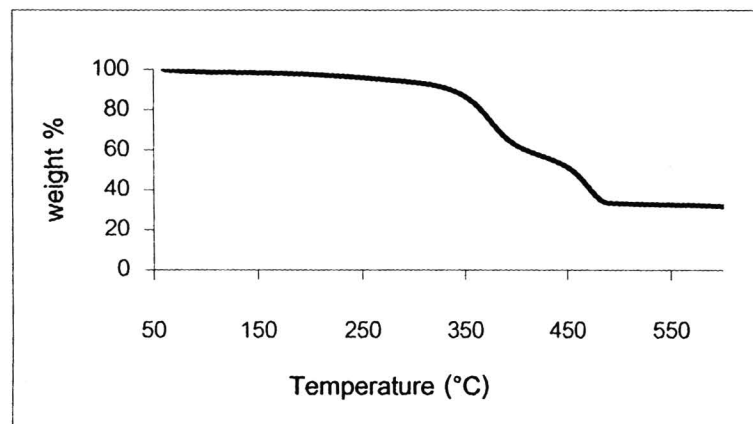
กลับไปสังเคราะห์เป็นสารตั้งต้นที่ใช้ในอุตสาหกรรมต่างๆ ต่อไป นอกจากนี้ยังพบว่าใน EVA/NR นั้นมีปริมาณของซัลเฟอร์ และในไตรเจน ที่ต่ำมากซึ่งแสดงว่าเมื่อ EVA/NR นี้เกิดปฏิกิริยา กับออกซิเจนจะเกิดก๊าซ  $\text{SO}_x$  และ  $\text{NO}_x$  ซึ่งเป็นก๊าซที่เป็นพิษในปริมาณที่ต่ำจึงไม่มีผลกระทบต่อสิ่งแวดล้อมเมื่อปล่อยออกสูญภายในอก

ตารางที่ 4.2 ธาตุองค์ประกอบของ EVA/NR

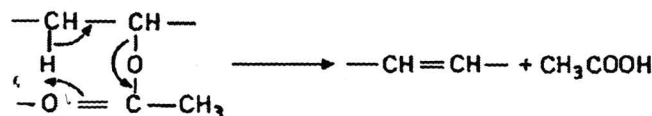
ธาตุ	ร้อยละโดยน้ำหนัก
C	57.6
H	8.3
N	1.3
O	32.7

#### 4.3.2 สมบัติทางความร้อนของ EVA/NR

การศึกษาการสลายตัวทางความร้อนของ EVA/NR นั้นใช้เทคนิค Thermogravimetric Analysis (TGA) โดยการทำให้ EVA/NR นั้นเกิดการสลายตัวภายใต้บรรยากาศที่ปราศจากออกซิเจน โดยใช้ก๊าซในไตรเจนเป็นก๊าซพา ที่อัตราการไหล 20 ml/min อุณหภูมิ 60-600 °C ที่อัตราการให้ความร้อน 20 °C/min จากนั้นจึงทำการวิเคราะห์ข้อมูลที่มีความสัมพันธ์ระหว่างร้อยละของน้ำหนักที่เปลี่ยนแปลงไปกับอุณหภูมิดังแสดงในรูปที่ 4.5 พบว่า EVA/NR นั้นจะเกิดการสลายตัว 2 ขั้นตอน โดยการสลายตัวในขั้นแรก เกิดที่อุณหภูมิประมาณ 300-360°C โดยพนกการเปลี่ยนแปลงของน้ำหนักจาก 91% เหลือ 58% ซึ่งการสลายตัวในขั้นแรกนี้คาดว่าเกิดจากการที่ส่วนของไวนิลอะซีเตตในสายโซ่ไม่เลกฤทธิ์เกิดการปลดปล่อยกรดและชิติกออกมา และเกิดเป็นพันธะคู่ชื่นบนสายโซ่ไม่เลกฤทธิ์แสดงในรูปที่ 4.6 ซึ่งพันธะคู่นี้เมื่อได้รับอุณหภูมิที่สูงขึ้นก็จะเกิดการสลายตัวได้ต่อไป ซึ่งผลการทดลองนี้คล้ายกับงานวิจัยของ N. Gupta และคณะ (N. Gupta et al., 1999) ที่ศึกษาการสลายตัวของ EVA ที่ใช้ในทางการค้าและพบว่าอุณหภูมิการสลายตัวของ EVA ที่อุณหภูมิประมาณ 250-350 °C ซึ่งมีค่าที่ใกล้เคียงกันกับที่ศึกษาได้ สำหรับในส่วนของการเกิดการสลายตัวในขั้นที่สองนั้นพบว่าเกิดที่อุณหภูมิประมาณ 400-500 °C โดยมีการเปลี่ยนแปลงของน้ำหนักลดลงจาก 56% เหลือ 33 % ซึ่งเป็นการเกิดการสลายตัวของโครงสร้างที่มีพันธะคู่ที่เกิดจากการสลายตัวในขั้นตอนแรก และจากโครงสร้างส่วนที่เป็นเอทิลีนบนสายโซ่หลัก แต่จากการศึกษาของ N. Gupta นั้นพบอุณหภูมิการสลายตัวในขั้นที่สองนี้ที่สูงกว่าอุณหภูมิต่ำกว่าเล็กน้อยคือที่ 350-450 °C ทั้งนี้เนื่องมาจากการที่ EVA/NR ที่ใช้ในการศึกษานั้นบางส่วนของไมเลกฤทธิ์ทำให้เกิดการเชื่อมระหว่างเพื่อเพิ่มสมบัติด้านการใช้งานดังนั้นจึงส่งผลให้อุณหภูมิที่เกิดการสลายตัวมีค่าที่สูงกว่า EVA ที่ใช้ในทางการค้าทั่วไปที่มีการเชื่อมข้างแต่อย่างใด ดังนั้นจากผลการทดลองจะเห็นได้ว่า EVA/NR นั้นสามารถเกิดการสลายตัวของสารอินทรีย์ได้อย่างสมบูรณ์ที่อุณหภูมิประมาณ 500 °C นั้นเอง



รูปที่ 4.5 การสลายตัวทางความร้อนของ EVA/NR ภายใต้บรรยากาศที่ปราศจากออกซิเจน



รูปที่ 4.6 การสลายตัวของ EVA/NR โดยการกำจัดกรดแอซิติก และเกิดเป็นพันธะคู่

#### 4.4 การวิเคราะห์ผลิตภัณฑ์ที่ได้จากการแปรสภาพทางความร้อน

การศึกษาการแปรสภาพทางความร้อนของ EVA/NR ในงานวิจัยนี้เป็นการศึกษาถึงผลของกำลังไมโครเวฟ อัตราส่วนโดยปริมาตรระหว่าง Ar:O<sub>2</sub> ในก๊าซพา และอัตราส่วนระหว่าง SiC:EVA/NR โดยจะทำการบรรจุ SiC ปริมาตร 1 และ 2 ml และ EVA/NR ปริมาตร 1 ml (อัตราส่วนโดยปริมาตรเท่ากับ 1:1 และ 2:1 ตามลำดับ) ลงในเตาปฏิกรณ์ความร้อนโดยจะทำการหุงสับกันไปเป็นชั้นๆโดยให้มีความหนาเท่าๆกัน จากนั้นทำการแปรสภาพทางความร้อนเป็นเวลานาน 360 วินาที โดยทำการแบ่งเก็บตัวอย่างก๊าซออกเป็น 2 ช่วงด้วยกันคือช่วงแรกที่เวลา 0-180 วินาที และที่เวลา 181-360 วินาที ตัวอย่างก๊าซที่เก็บได้จะถูกนำไปวิเคราะห์ด้วยเทคนิค Gas Chromatography ด้วยตัวตรวจจับชนิด Thermal Conductivity Detector (TCD) เพื่อวิเคราะห์ก๊าซ CO<sub>2</sub>, H<sub>2</sub> และ Flame Ionized Detector (FID) เพื่อวิเคราะห์ก๊าซไฮโดรคาร์บอน (C<sub>x</sub>H<sub>y</sub>) ซึ่งในงานวิจัยนี้ได้ทำการวิเคราะห์ทั้งเชิงคุณภาพ และเชิงปริมาณของก๊าซ CO<sub>2</sub>, H<sub>2</sub>, และ C<sub>x</sub>H<sub>y</sub> ในช่วง C<sub>1</sub>-C<sub>5</sub> โดยทำการเปรียบเทียบกับก๊าซมาตรฐานที่ทราบความเข้มข้นที่แน่นอน ในส่วนของการกระจายตัวของผลิตภัณฑ์ที่เป็นของแข็ง ของเหลว และก๊าซนั้น จะใช้การชั่งน้ำหนักของแข็ง และของเหลว จากนั้นจึงคำนวณหาปริมาณของก๊าซโดยอาศัยกฎทรงมวล ทั้งนี้จะทำการเปรียบเทียบผลการทดลองที่ได้กับระบบการให้ความร้อนโดยการใช้เตาไฟฟ้าควบคู่กันไปด้วย

#### 4.4.1 การกระจายตัวของผลิตภัณฑ์

การแปรสภาพทางความร้อนของ EVA/NR ที่สภาวะต่างๆพบว่า EVA/NR นั้นสามารถเกิดการสลายตัวได้อย่างรวดเร็วภายใต้ระบบการให้ความร้อนโดยการใช้ไมโครเวฟ ซึ่งการกระจายตัวของผลิตภัณฑ์ของแข็ง ของเหลว และก๊าซ แสดงไว้ดังตารางที่ 4.3 และตารางที่ 4.4 โดยพบว่าเมื่อกำลังของไมโครเวฟมีค่าสูงขึ้นส่งผลให้ปริมาณของก๊าซผลิตภัณฑ์ที่ได้มีค่าที่เพิ่มมากขึ้น แต่ปริมาณของแข็งมีค่าที่ลดลง ที่ทุกอัตราส่วนของก๊าซพารา และอัตราส่วนระหว่าง EVA/NR: SiC ซึ่งผลที่เกิดขึ้นนี้มีความสอดคล้องกับงานวิจัยก่อนหน้านี้ดังแสดงในตารางที่ 4.5-4.6 ซึ่งการที่ผลิตภัณฑ์เป็นก๊าซเพิ่มมากขึ้น แต่ผลิตภัณฑ์ที่เป็นของแข็งลดลงนี้เนื่องมาจากการที่ของแข็งที่เกิดขึ้นในตอนแรกนั้นทำปฏิกิริยากับก๊าซผลิตภัณฑ์ และก๊าซพารา ต่อเนื่องไปในระหว่างการทดลอง นอกจากนี้การที่กำลังของไมโครเวฟมีค่าที่สูงขึ้นนี้ จะช่วยในการเร่งให้เกิดการแตกตัวของสายโซ่มोเลกุลได้ดีขึ้นจึงส่งผลให้ EVA/NR ส่วนใหญ่นี้เกิดการแปรสภาพไปเป็นก๊าซในสัดส่วนที่สูงกว่าผลิตภัณฑ์อื่น

ตารางที่ 4.3 การกระจายตัวของผลิตภัณฑ์ (%) โดยน้ำหนัก) ที่อัตราส่วนระหว่าง Ar:O<sub>2</sub> เท่ากับ 100:0 ทั้งระบบการให้ความร้อนโดยใช้ไมโครเวฟ และการใช้เตาไฟฟ้า

SiC :EVA/NR	Microwave power (watts)	Solid	Oil	Gas
1:1	110	88.3	5.1	6.6
	330	32.3	36.5	31.2
	550	29.8	28.5	41.7
2:1	110	84.5	9.7	5.8
	330	44.1	24.9	31.0
	550	30.9	28.8	40.3
<i>Electrical furnace</i>		30.3	38.1	31.7

ตารางที่ 4.4 การกระจายตัวของผลิตภัณฑ์ (%) โดยน้ำหนัก) ที่อัตราส่วนระหว่าง Ar:O<sub>2</sub> เท่ากับ 99:1 ทั้งระบบการให้ความร้อนโดยใช้ไมโครเวฟ และการใช้เตาไฟฟ้า

SiC :EVA/NR	Microwave power (watts)	Solid	Oil	Gas
1:1	110	64.7	15.8	19.5
	330	30.0	21.4	48.6
	550	23.4	23.2	53.4
2:1	110	78.3	13.9	7.8
	330	33.4	16.5	50.1
	550	33.7	17.5	48.8
<i>Electrical furnace</i>		31.2	25.9	42.9

ตารางที่ 4.5 การกระจายตัวของผลิตภัณฑ์ที่ได้จากการไฟโรไลเซชันนังเทียมโดย O. Yilmaz และคณะ (O. Yilmaz et al., 2007)

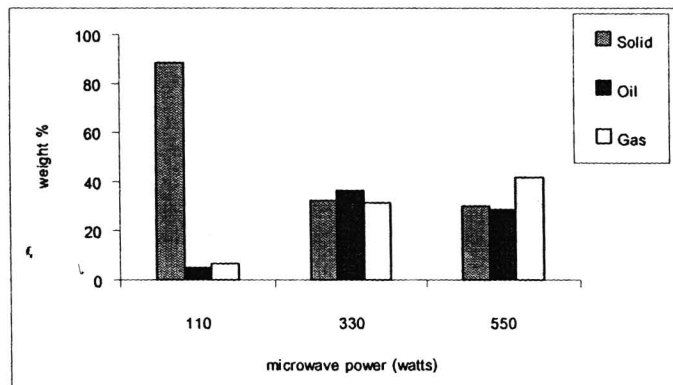
	Temperature (°C)	
	450	600
<i>Char</i>	44.5	38.1
<i>Oil + Aqueous</i>	32.0	28.9
<i>Gas</i>	17.8	23.6

ตารางที่ 4.6 ผลของอุณหภูมิที่มีต่อการกระจายตัวของผลิตภัณฑ์ทั้งการให้ความร้อนแบบใช้เตาไฟฟ้า และการให้ความร้อนโดยไมโครเวฟของสลัดจัน้ำเสียโดย A. Domínguez และคณะ (A. Domínguez et al., 2006)

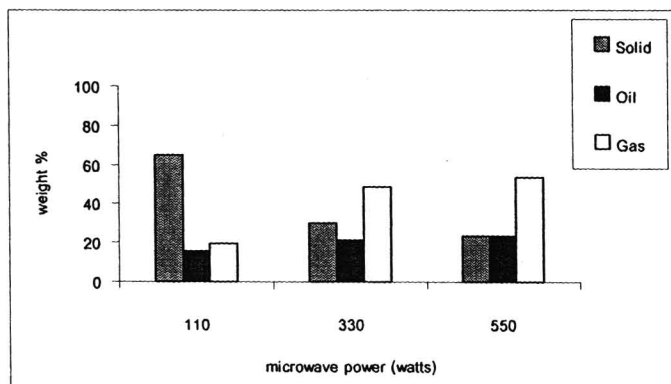
Temperature			
	500°C	800°C	1000°C
<b>Microwave heating</b>			
<i>Solid</i>	30.2	25.5	22.7
<i>Oil</i>	7.9	9.2	8.6
<i>Gas</i>	61.9	65.3	68.7
<b>Electrical furnace</b>			
<i>Solid</i>	29.2	25.3	24.1
<i>Oil</i>	13.6	11.8	11.3
<i>Gas</i>	57.2	62.9	64.6

ปริมาณในการเกิดก๊าซ  $\text{CO}_2$ ,  $\text{CO}$ ,  $\text{H}_2$ , และ  $\text{C}_x\text{H}_y$  ( $\text{C}_1\text{-C}_5$ ) นั้นเป็นสิ่งที่สำคัญที่สามารถสะท้อนถึงลักษณะของการแปรสภาพความร้อน ซึ่งโดยทั่วไปแล้วการเกิดก๊าซผลิตภัณฑ์ข้างต้นตามที่กล่าวมานั้น จะขึ้นกับตัวแปรหลักๆ ได้แก่ อุณหภูมิ อัตราการให้ความร้อน และบรรยายกาศที่ใช้ในการเกิดปฏิกิริยา กลไกในการเกิดก๊าซผลิตภัณฑ์จากสัดส่วนนี้ในผู้พบร่วมกันของการแตกตัวของสายโซ่หลักของวัสดุทั้งการแตกตัวแบบ Random Chain Scission และ Depolymerization หรืออาจเกิดเนื่องมาจากก๊าซผลิตภัณฑ์ที่เกิดขึ้นในช่วงแรกของปฏิกิริยาสามารถเกิดปฏิกิริยาต่อเนื่อง เช่นเกิดปฏิกิริยาด้วยกันเองระหว่างก๊าซผลิตภัณฑ์ เกิดปฏิกิริยากับก๊าซพา และเกิดปฏิกิริยากับของแข็งหรือของเหลว เป็นต้น ซึ่งจากการวิจัยที่ผ่านมา [6, 9, 11, 13, 14, 15, 16] และตารางที่ 4.6 นั้นต่างแสดงผลของการกระจายตัวของผลิตภัณฑ์ของแข็ง ของเหลว และก๊าซ ไปในทิศทางเดียวกันนั่นคือ สัดส่วนของผลิตภัณฑ์ที่เป็นก๊าซนั้นมีค่าที่เพิ่มมากขึ้นในขณะที่ของแข็ง และของเหลวมีค่าที่ลดลง เมื่ออุณหภูมิที่ใช้ในการแปรสภาพมีค่าที่สูงขึ้นนั่นแสดงว่า ภายใต้สภาวะที่มีการให้อุณหภูมิ และอัตราการให้ความร้อนที่สูงจะช่วยในการส่งเสริมการผลิตก๊าซได้ดียิ่งขึ้น ซึ่งมีความสอดคล้องกับข้อสรุปจากการวิจัยของ A. Domínguez และคณะ (A. Domínguez et al. 2006) ที่กล่าวว่าที่อัตราการให้ความร้อนที่สูง ณ อุณหภูมิที่สูงกว่า  $650^{\circ}\text{C}$  จะช่วยส่งเสริมการเกิดก๊าซผลิตภัณฑ์ได้ดียิ่งขึ้น ทั้งนี้ในงานวิจัยนี้พบว่าเมื่อดำเนินการแปรสภาพทางความร้อนด้วยไมโครเวฟ อุณหภูมิจะมีค่าที่สูงขึ้นตามกำลังของไมโครเวฟที่เพิ่มมากขึ้น เนื่องจากเมื่อกำลังของไมโครเวฟสูงขึ้นจะทำให้ประจุ หรืออิเล็กตรอนอิสระบน SiC นั้นสามารถที่จะเกิดการสั่น และเคลื่อนที่ได้มากยิ่งขึ้นจึงสามารถ

เกิดการเสียดสีกันระหว่างประจุเหล่านี้กับความต้านทานภายในของ SiC เอง ซึ่งการสั่นที่เกิดอย่างรวดเร็วนี้ทำให้สามารถเกิดความร้อนได้อย่างรวดเร็วสูงกว่าระบบการให้ความร้อนโดยการใช้เตาไฟฟ้า และความร้อนเหล่านี้จะแพร่ให้กับวัสดุอย่างรวดเร็วเช่นเดียวกันทำให้วัสดุนั้นเกิดการสลายตัวอย่างรวดเร็ว และเจ็บพลัน จากที่กล่าวมาทำให้ที่กำลังของไมโครเวฟเท่ากับ 550 วัตต์ สามารถผลิตก๊าซเชื้อเพลิงได้ในปริมาณที่สูงกว่าที่กำลังไมโครเวฟ 330 และ 110 วัตต์ ที่ทุกอัตราส่วนของก๊าซพัดดงแสดงในรูปที่ 4.7 และรูปที่ 4.8



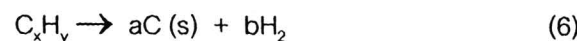
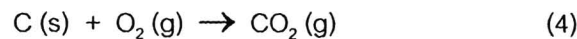
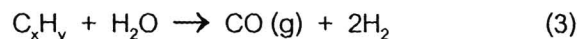
รูปที่ 4.7 การกระจายตัวของผลิตภัณฑ์ที่อัตราส่วน Ar: O<sub>2</sub> ในก๊าซพा 100:0 อัตราส่วน EVA/NR: SiC 1:1



รูปที่ 4.8 การกระจายตัวของผลิตภัณฑ์ที่อัตราส่วน Ar: O<sub>2</sub> ในก๊าซพा 99:1 อัตราส่วน EVA/NR: SiC 1:1

ในส่วนขององค์ประกอบของก๊าซผลิตภัณฑ์นี้ในงานวิจัยนี้ได้ทำการวิเคราะห์ CO<sub>2</sub>, H<sub>2</sub> และ C<sub>x</sub>H<sub>y</sub> ในช่วง C<sub>1</sub>-C<sub>5</sub> เท่านั้น ซึ่งผลการทดลองที่ได้มีแนวโน้มใกล้เคียงกันกับผลงานวิจัยของ A. Marcilla และคณะ (Marcilla et al., 2005) นั่นคือผลการทดลองในงานวิจัยนี้พบว่าที่สภาวะการทดลองภายใต้อัตราส่วนของ Ar:O<sub>2</sub> ในก๊าซพा 99:1 สามารถผลิตก๊าซ H<sub>2</sub> ได้ในปริมาณที่สูงกว่าอัตราส่วน 100:0 (ตารางที่ 4.7) ทั้งนี้เนื่องจากที่สภาวะดังกล่าวมีอุณหภูมิในระบบซึ่งสามารถเกิดปฏิกิริยาออกซิเดชันกับ EVA/NR ซึ่งเป็นการแปลงทางความร้อนในรูปแบบของการเกิดแก๊สซิฟิเคชันที่มีความสามารถในการผลิตก๊าซ H<sub>2</sub>

ได้ดีกว่าสภาวะที่ปราศจากออกซิเจน เมื่อพิจารณาถึงการเพิ่มขึ้นของกำลังของไมโครเวฟจาก 110-550 วัตต์ พบว่าปริมาณการเกิด  $\text{CO}_2$  มีค่าที่เพิ่มขึ้นเมื่อกำลังของไมโครเวฟมีค่าที่เพิ่มมากขึ้น ดังตารางที่ 4.8 โดยผลที่ได้เป็นไปในทางตรงกันข้ามกับงานวิจัยอื่นๆ ที่ผ่านมาซึ่งใช้ไมโครเวฟ เช่นกัน [11, 14, 17] ดังตารางที่ 4.9 และ 4.10 ซึ่งพบว่าเมื่อกำลังของไมโครเวฟหรืออุณหภูมิที่ใช้ในการให้ความร้อนเพิ่มขึ้น ปริมาณของ  $\text{CO}_2$  มีค่าที่ลดลง ทั้งนี้คาดว่าเนื่องมาจาก การให้ความร้อนแบบไมโครเวฟงานวิจัยนี้นั้นเป็น การให้ความร้อนที่มีความรวดเร็วมากประกอบกับการที่ EVA/NR มีออกซิเจนอยู่ในปริมาณที่ค่อนข้างสูง ดังนั้น  $\text{CO}_2$  จึงสามารถเกิดได้อย่างรวดเร็วและสามารถออกไประดับสูง ได้ภายในเวลาอันสั้นทำให้ ระยะเวลาในการทำปฏิกิริยา กับบรรยายกาศ ของแข็ง และก๊าซที่เกิดขึ้นในระบบมีค่าที่น้อยลง หรือสามารถ กล่าวได้ว่าอัตราในการเกิด  $\text{CO}_2$  มีค่าที่สูงกว่าอัตราในการใช้  $\text{CO}_2$  ในการทำปฏิกิริยา กับคาร์บอน และ สารประกอบคาร์บอนในปฏิกิริยาที่ (1) และ (2) นั้นเอง สมการที่ (1)-(6)แสดงปฏิกิริยาที่เกิดขึ้นในระหว่าง การเกิดปฏิกิริยาดังกล่าว



ตารางที่ 4.7 ปริมาณของก๊าซ  $H_2$  ( $\times 10^{-4}$  กรัม) ที่อัตราส่วนของ EVA/SiC 1:1

Microwave power (watts)	Weight (g)	
	Ar	Ar/O <sub>2</sub>
110	0.00	0.03
330	0.25	1.10
550	61.12	190.77
<i>Electrical furnace</i>	0.02	0.02

ตารางที่ 4.8 ปริมาณของก๊าซ CO<sub>2</sub> ( $\times 10^{-4}$  กรัม) ที่อัตราส่วนของ EVA/SiC 1:1

Microwave power (watts)	Weight (g)	
	Ar	Ar/O <sub>2</sub>
110	24.64	25.76
330	55.05	93.52
550	121.40	215.65
<i>Electrical furnace</i>	128.20	106.40

การวิเคราะห์ชนิดและปริมาณของไออกไซด์คาร์บอนนั้นใช้เทคนิค Gas Chromatography โดยใช้ตัวตรวจจับ Flame Ionized Detector (FID) ซึ่งจากการทดลองพบว่าปริมาณการเกิดไออกไซด์คาร์บอนนั้นมีค่าที่เพิ่มมากขึ้นตามกำลังของไมโครเวฟที่สูงมากขึ้นดังแสดงในรูปที่ 4.9 ซึ่งที่กำลังของไมโครเวฟเท่ากับ 110 วัตต์ นั้นพบว่าปริมาณของไออกไซด์คาร์บอนที่ได้นั้นมีปริมาณที่ต่ำมากแต่มีเมื่อเพิ่มกำลังของไมโครเวฟเป็น 330 และ 550 วัตต์ แล้ว พบว่าปริมาณของไออกไซด์คาร์บอนนั้นมีค่าที่สูงขึ้นอย่างชัดเจนทั้งนี้เนื่องมาจากการที่อุณหภูมิที่สูงนี้สามารถเกิดการแตกตัวของ EVA/NR ได้ดียิ่งขึ้น และเมื่อพิจารณาเปรียบเทียบระหว่างอัตราส่วนระหว่าง Ar:O<sub>2</sub> ในก๊าซพาพบว่าที่อัตราส่วนเท่ากับ 99:1 นั้นสามารถผลิตไออกไซด์คาร์บอนได้ในปริมาณที่สูงกว่าเนื่องมาจากการที่ออกซิเจนที่เพิ่มเข้าไปในระบบนั้นสามารถเร่งการแตกตัวโดยเกิดปฏิกิริยาออกซิเดชันกับ EVA/NR นั่นเอง

รูปที่ 4.10 และรูปที่ 4.11 แสดงโครงสร้างกราฟของก๊าซไออกไซด์คาร์บอนที่วิเคราะห์ได้จากก๊าซผลิตภัณฑ์ ซึ่งเมื่อเปรียบเทียบที่อัตราส่วน Ar:O<sub>2</sub> ในก๊าซพาที่กำลังของไมโครเวฟ 110 วัตต์พบว่าที่

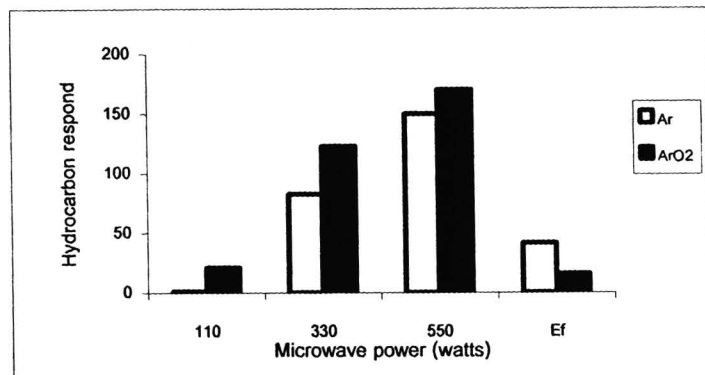
อัตราส่วน Ar:O<sub>2</sub> 99:1 (การแปรสภาพทางความร้อนแบบแก๊สซิฟิเคชัน) สามารถผลิตไออกไซด์คาร์บอนได้ดีกว่าที่อัตราส่วน 100:0 และเมื่อเพิ่มกำลังของไมโครเวฟเป็น 330 และ 550 วัตต์ ปริมาณของไออกไซด์คาร์บอนก็มีค่าที่สูงมากขึ้นตามไปด้วย หรือสามารถถกถ่วงได้ว่าระบบการให้ความร้อนโดยใช้ไมโครเวฟนั้นสามารถผลิตกําชีวิโอด้วยอัตราส่วนได้ในปริมาณที่สูงขึ้นตามกำลังของไมโครเวฟ และมีปริมาณที่สูงกว่าจากที่ผลิตได้จากการระบบการให้ความร้อนโดยการใช้เตาไฟฟ้า นอกจากนี้พบว่าที่กำลังของไมโครเวฟเท่ากับ 110 วัตต์ที่อัตราส่วนระหว่าง Ar:O<sub>2</sub> ในกําชีพา 100:0 พบร่วมปริมาณของไออกไซด์คาร์บอนนั้นมีปริมาณที่ต่ำมากทั้งนี้เนื่องมาจากการที่กำลังของไมโครเวฟ 110 วัตต์นั้นไม่สามารถทำให้เกิดความร้อนที่สูงพอจนทำให้ EVA/NR เกิดการสลายตัวได้

ตารางที่ 4.9 ปริมาณของ H<sub>2</sub>, CO<sub>2</sub>, และ CH<sub>4</sub> จากการแปรสภาพทางความร้อนของสัลเดอร์น้ำเสียโดยการใช้ระบบการให้ความร้อนโดยไมโครเวฟที่อุณหภูมิต่างๆ กัน จากรายงานวิจัยของ A. Domínguez และคณะ (A. Domínguez et al., 2006)

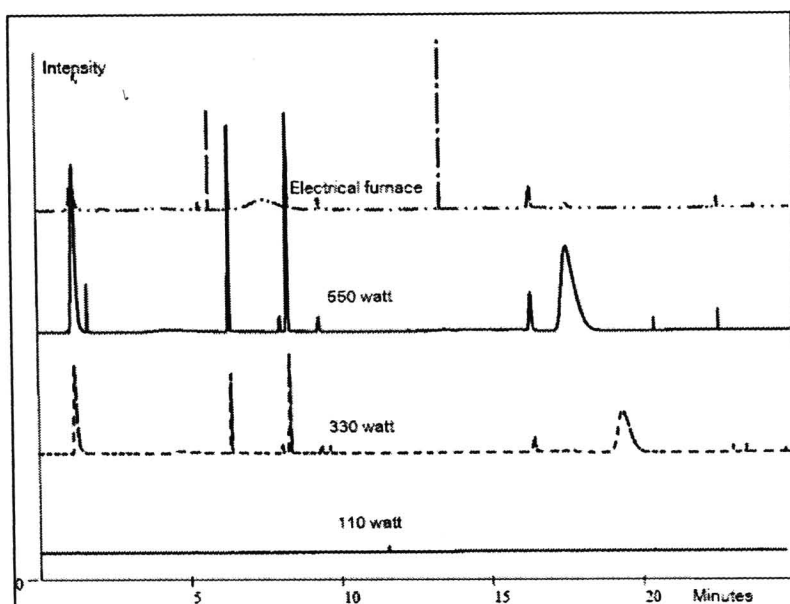
	Temperature (°C)		
	500	800	1,000
H <sub>2</sub>	35.6	38.2	40
CO <sub>2</sub>	28.4	22.7	17.7
CH <sub>4</sub>	7.25	7.13	6.74

ตารางที่ 4.10 ร้อยละโดยปริมาตรของ H<sub>2</sub>, CO<sub>2</sub>, และ CH<sub>4</sub> จากการแปรสภาพทางความร้อนสัลเดอร์น้ำเสียโดยการใช้ระบบการให้ความร้อนโดยเตาไฟฟ้าอุณหภูมิต่างๆ กัน จากรายงานวิจัยของ A. Domínguez และคณะ (A. Domínguez et al., 2006)

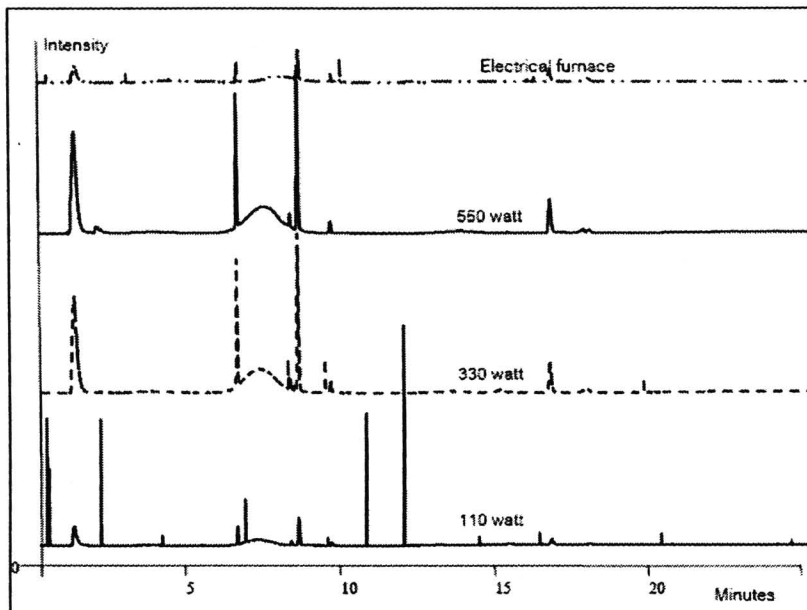
	Temperature		
	500 °C	800 °C	1,000 °C
H <sub>2</sub>	9.3	25.8	29.9
CO <sub>2</sub>	56.6	39.1	32.0
CH <sub>4</sub>	11.3	10.9	10.7



รูปที่ 4.9 การตอบสนองต่อไฮโดรคาร์บอนที่อัตราส่วน EVA/NR: SiC 1:1 ระหว่างอัตราส่วน Ar:O<sub>2</sub> ในก๊าซพา 100:0 (Ar) และ 99:1 (ArO<sub>2</sub>)



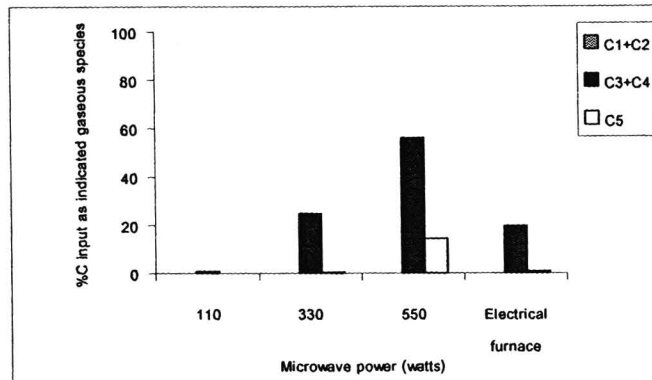
รูปที่ 4.10 การตอบสนองต่อไฮโดรคาร์บอนของเครื่อง Gas Chromatography อัตราส่วน Ar:O<sub>2</sub> ในก๊าซพา 100:0 อัตราส่วนระหว่าง EVA/NR: SiC 1:1



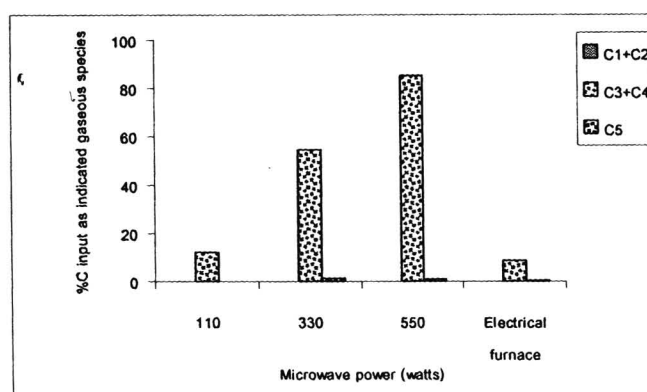
รูปที่ 4.11 การตอบสนองต่อไออกไซด์คาร์บอนของเครื่อง Gas Chromatography อัตราส่วน

$\text{Ar}:\text{O}_2$  ในก๊าซพา 99:1 อัตราส่วนระหว่าง EVA/NR: SiC 1:1

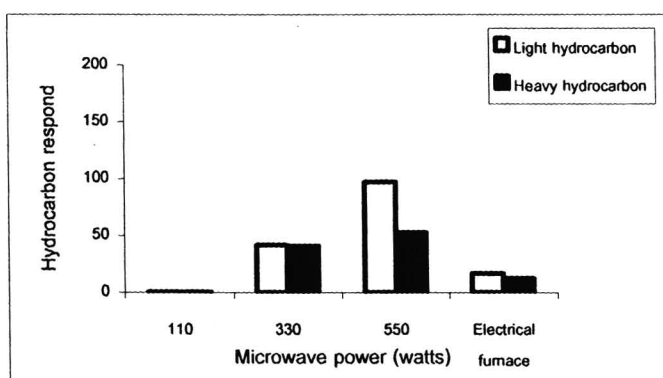
รูปที่ 4.12 และรูปที่ 4.13 แสดงการแปลงสภาพของคาร์บอนใน EVA/NR ไปเป็นไออกไซด์คาร์บอน  $\text{C}_1-\text{C}_5$  ซึ่งจากการวิเคราะห์พบว่าไออกไซด์คาร์บอนที่อยู่ในช่วง  $\text{C}_3+\text{C}_4$  นั้นมีปริมาณที่สูงที่สุดที่ทุกกำลังของไมโครเวฟ อัตราส่วนระหว่าง  $\text{Ar}:\text{O}_2$  และทุกรอบของการให้ความร้อน ซึ่งเป็นผลมาจากการแตกตัวแบบ depolymerization ซึ่งเป็นการแตกตัวของ EVA/NR ออกเป็นหน่วยย่อยๆ หรือโมโนเมอร์ ปริมาณของ  $\text{C}_5$  พบรูปในปริมาณที่รองลงมา และ  $\text{C}_1+\text{C}_2$  นั้นพบว่ามีปริมาณที่ต่ำที่สุดซึ่งคาดว่าเกิดจากการแตกตัวแบบสูญของ EVA/NR นั้นเอง ระบบการให้ความร้อนโดยไมโครเวฟสามารถผลิตไออกไซด์คาร์บอนได้ในปริมาณที่สูงกว่าระบบการให้ความร้อนโดยการใช้เตาไฟฟ้า เมื่อพิจารณาที่กำลังของไมโครเวฟ 550 วัตต์ อัตราส่วนระหว่าง  $\text{Ar}:\text{O}_2$  100:0 (การแปลงสภาพแบบไฟโรไลดิช) การแปลงสภาพของคาร์บอนใน EVA/NR ไปเป็นไออกไซด์คาร์บอน  $\text{C}_3+\text{C}_4$  และ  $\text{C}_5$  เท่ากับ 56% และ 14% ตามลำดับ แต่เมื่อเปลี่ยนอัตราส่วนระหว่าง  $\text{Ar}:\text{O}_2$  ในก๊าซพา 99:1 (การแปลงสภาพแบบแก๊สชีพิคเข็ม) พบว่าการแปลงสภาพของคาร์บอนใน EVA/NR ไปเป็นไออกไซด์คาร์บอน  $\text{C}_3+\text{C}_4$  และ  $\text{C}_5$  เปลี่ยนไปเป็น 85% และ 0.7% ตามลำดับซึ่งปริมาณของ  $\text{C}_3+\text{C}_4$  ที่สูงขึ้นอย่างชัดเจนนี้เนื่องมาจากการเกิดปฏิกิริยาแก๊สชีพิคเข็มของ EVA/NR และ  $\text{C}_5$  ที่เกิดการแตกตัวออกเป็นโมเลกุลที่มีขนาดเล็กลง เช่น  $\text{C}_3+\text{C}_4$  นั้นเองซึ่งปริมาณของ  $\text{C}_3+\text{C}_4$  ที่สูงขึ้นนี้สามารถพบรูปได้ที่ทุกสภาพของระบบการให้ความร้อนโดยการใช้ไมโครเวฟ และมีผลที่ชัดเจนกว่าเมื่อเทียบกับระบบการให้ความร้อนโดยการใช้เตาไฟฟ้า



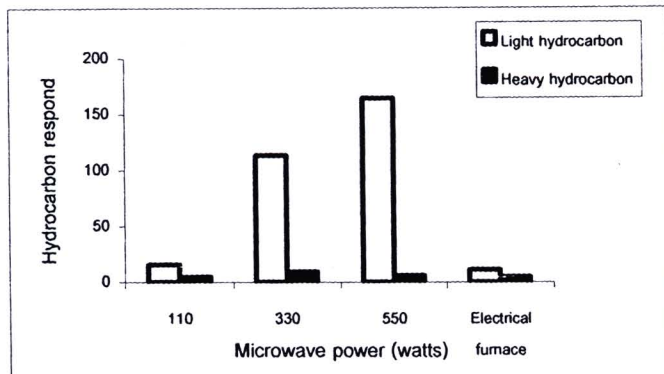
รูปที่ 4.12 การแปลงสภาพของคาร์บอนใน EVA/NR ไปเป็นก๊าซไฮโดรคาร์บอนที่อัตราส่วนระหว่าง Ar:O<sub>2</sub> 100:0



รูปที่ 4.13 การแปลงสภาพของคาร์บอนใน EVA/NR ไปเป็นก๊าซไฮโดรคาร์บอนที่อัตราส่วนระหว่าง Ar:O<sub>2</sub> 99:1



รูปที่ 4.14 การตอบสนองต่อไฮโดรคาร์บอนของเครื่อง Gas Chromatography อัตราส่วน Ar:O<sub>2</sub> ในก๊าซพา 100:0

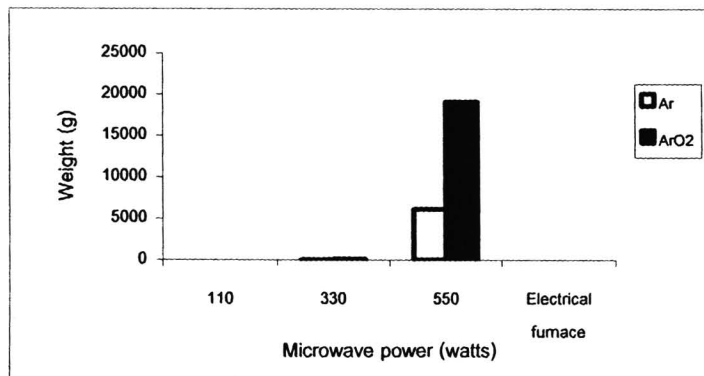


รูปที่ 4.15 การตอบสนองต่อไฮโดรคาร์บอนของเครื่อง Gas Chromatography อัตราส่วน Ar:O<sub>2</sub> ในก๊าซพา 99:1

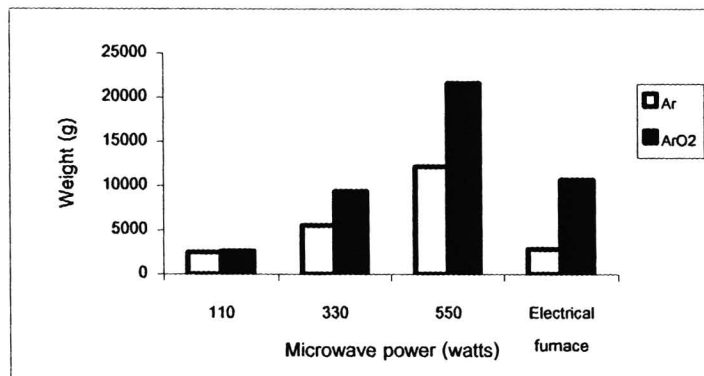
จากรูปที่ 4.14 ทั้งที่กำลังของไมโครเวฟ 110 และ 330 วัตต์ และ ระบบการให้ความร้อนโดยใช้เตาไฟฟ้าพบว่าปริมาณของ ไฮโดรคาร์บอนที่มีขนาดเล็ก (light hydrocarbon, C<sub>1</sub>-C<sub>3</sub>) และไฮโดรคาร์บอนที่มีขนาดใหญ่ (heavy hydrocarbon, C<sub>4</sub>-C<sub>5</sub>) นั้นมีปริมาณที่ไม่แตกต่างกันมากนักแต่ที่กำลังของไมโครเวฟเท่ากับ 550 วัตต์ พบว่าปริมาณของไฮโดรคาร์บอนที่มีขนาดเล็กนั้นมีปริมาณที่สูงมากขึ้น และปริมาณของไฮโดรคาร์บอนที่มีขนาดใหญ่ก็มีปริมาณที่ลดลงชัดเจน นอกจากนี้ที่อัตราส่วนระหว่าง A : O<sub>2</sub> 99:1 (รูปที่ 4.15) พบว่ามีปริมาณของไฮโดรคาร์บอนที่สูงกว่าที่อัตราส่วน Ar:O<sub>2</sub> 100:0 ทั้งนี้เนื่องมาจากการที่ไม่เลกุลของ EVA/NR และของแข็งที่เกิดขึ้นระหว่างปฏิกิริยานั้นเกิดการแตกตัวเป็นก๊าซผลิตภัณฑ์ต่างๆ โดยเฉพาะไฮโดรคาร์บอน (รูปที่ 4.9) ขันเนื่องมาจากการเกิดปฏิกิริยาแก๊สชีพิเคน์ดังสมการที่ (3), (4) และ (6)

การแตกตัวออกของไฮโดรคาร์บอนที่มีขนาดใหญ่กล้ายเป็นไฮโดรคาร์บอนที่มีขนาดเล็กนั้น สามารถเห็นได้ชัดเจนที่อัตราส่วนระหว่าง Ar:O<sub>2</sub> 99:1 ซึ่งการแตกตัวนี้เกิดขึ้นเนื่องมาจากส่องกระบวนการ ด้วยกันกระบวนการแยกคือ ไฮโดรคาร์บอนที่มีขนาดใหญ่ที่เกิดจากการแตกตัวของ EVA/NR นั้นมีเวลาและ อุณหภูมิที่เพียงพอในการแตกตัวมากขึ้นทำให้ได้ไฮโดรคาร์บอนที่มีขนาดเล็กลง (สามารถพิสูจน์ได้ที่กำลังของไมโครเวฟ 330, 550 วัตต์ และระบบการให้ความร้อนโดยใช้เตาไฟฟ้า) ส่วนกระบวนการที่สองนั้นเกิดจาก การที่ก๊าซผลิตภัณฑ์ที่เกิดขึ้นระหว่างการเกิดปฏิกิริยา เช่น CO<sub>2</sub>, CO, H<sub>2</sub> และ CH<sub>4</sub> ที่มีความว่องไวในการ เกิดปฏิกิริยา ไปเห็นย่นนำและทำให้ไฮโดรคาร์บอนที่มีขนาดใหญ่เกิดการแตกตัวต่อไปได้ไฮโดรคาร์บอนที่ มีขนาดเล็กได้อีกเช่นเดียวกัน นอกจากนี้การที่มีออกซิเจนอยู่ในระบบบันน์จะช่วยส่งเสริมให้เกิดปฏิกิริยา แก๊สชีพิเคน์ของไฮโดรคาร์บอนที่มีขนาดใหญ่จากปฏิกิริยาที่ (2) และ (3) ซึ่งสามารถยืนยันได้จากการที่ ปริมาณของ H<sub>2</sub>, CO<sub>2</sub>, และ CH<sub>4</sub> ดังแสดงในรูปที่ 4.16, 4.17, และ 4.18 ตามลำดับ ที่ปริมาณของก๊าซ ดังกล่าวมีการเพิ่มขึ้นอย่างรวดเร็วที่กำลังของไมโครเวฟ 550 วัตต์ ทั้งนี้เนื่องมาจากการที่กำลังของ

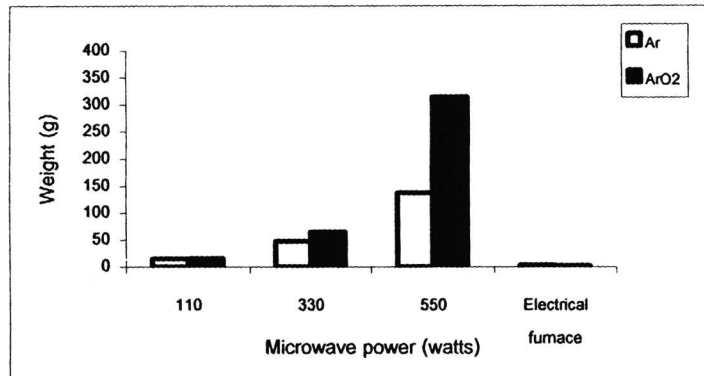
ไมโครเวฟนั้นสามารถให้อุณหภูมิที่สูงเพียงพอต่อการแตกตัวของ EVA/NR และไฮโดรคาร์บอนที่มีขนาดใหญ่ให้กล้ายเป็นก้าชผลิตภัณฑ์ดังกล่าวซึ่งสามารถเห็นได้ชัดเจนที่อัตราส่วนของ Ar:O<sub>2</sub> 99:1



รูปที่ 4.16 น้ำหนักของก้าชไฮโดรเจนที่กำลังของไมโครเวฟต่างๆระหว่างอัตราส่วน Ar:O<sub>2</sub> ในก้าชพา 100:0 (Ar) และ 99:1 (ArO<sub>2</sub>)



รูปที่ 4.17 น้ำหนักของก้าชcarbonไดออกไซด์ที่กำลังของไมโครเวฟต่างๆระหว่างอัตราส่วน Ar:O<sub>2</sub> ในก้าชพา 100:0 (Ar) และ 99:1 (ArO<sub>2</sub>)



รูปที่ 4.18 น้ำหนักของกําชมีเทนที่กำลังของไมโครเวฟต่างๆระหว่างอัตราส่วน Ar:O<sub>2</sub> ในกําชพา 100:0 (Ar) และ 99:1 (ArO<sub>2</sub>)

จากการทดลองพบว่าที่อัตราส่วนของ Ar:O<sub>2</sub> 99:1 นั้นพบว่าปริมาณของ CO<sub>2</sub> นั้นมีปริมาณที่สูงขึ้นตามกำลังของไมโครเวฟทั้งนี้เนื่องมาจากการที่มี O<sub>2</sub> อยู่ในระบบนั้นจะช่วยในการเกิดปฏิกิริยาแก๊สซีฟิเครั่นดังปฏิกิริยาที่ (4) ในอัตราการเกิดปฏิกิริยาที่สูงกว่าปฏิกิริยาที่ (1) และ ปฏิกิริยาที่ (2) นอกจากนี้ระบบการให้ความร้อนโดยไมโครเวฟนั้นพบว่าสามารถผลิต H<sub>2</sub> จากการทำปฏิกิริยาของ CO<sub>2</sub> และ CH<sub>4</sub> ได้ในปริมาณที่สูงกว่าระบบการให้ความร้อนโดยการใช้เตาไฟฟ้ารวมทั้งปริมาณของ CO<sub>2</sub> และ CH<sub>4</sub> ที่เกิดจากกระบวนการให้ความร้อนโดยไมโครเวฟก็สูงกว่าระบบการให้ความร้อนโดยการใช้เตาไฟฟ้าเช่นกัน (ตารางที่ 4.7, 4.8, และ 4.11) ซึ่งผลของการให้ความร้อนต่อปริมาณ CO<sub>2</sub> ในการทำทดลองที่ได้นั้นมีความแตกต่างของกับงานวิจัยของ A. Domínguez และคณะ (A. Domínguez et al., 2006) แต่ไม่พบความแตกต่างต่อปริมาณของ H<sub>2</sub> (ตารางที่ 4.12) ซึ่งความแตกต่างที่เกิดขึ้นนี้เนื่องมาจากการให้ความร้อนที่เกิดขึ้นในระบบไมโครเวฟ และเตาไฟฟ้านั้นมีความแตกต่างกัน ในการนี้ของระบบการให้ความร้อนโดยใช้ไมโครเวฟนั้น EVA/NR และ SiC นั้นจะถูกเหนี่ยวนำให้เกิดความร้อนขึ้นโดยตรงทำให้อุณหภูมิของ EVA/NR และ SiC นั้นมีค่าที่สูงกว่าบริเวณโดยรอบทำให้ CO<sub>2</sub> ที่เกิดขึ้นอย่างรวดเร็วนั้นมีเวลา และอุณหภูมิที่ไม่เพียงพอในการเกิดปฏิกิริยากับก๊าซอื่นๆที่อยู่โดยรอบ แต่ในทางกลับกันระบบการให้ความร้อนโดยใช้เตาไฟฟ้านั้นความร้อนที่เกิดขึ้นแก่ EVA/NR และ SiC นั้นอาศัยหลักการแพร่งสีความร้อนทำให้ CO<sub>2</sub> ที่เกิดขึ้นนั้นมีเวลาและอุณหภูมิที่เพียงพอในการเกิดปฏิกิริยากับก๊าซที่ว่องไวอื่นๆ ผลลัพธ์ให้ปริมาณของ CO<sub>2</sub> ที่ได้นั้นมีค่าที่ลดลง

ตารางที่ 4.11 ปริมาณของก๊าซ  $\text{CH}_4$  ( $\times 10^{-4}$  กรัม) ที่อัตราส่วนของ EVA/SiC 1:1

Microwave power (watts)	Weight (g)	
	Ar	Ar/O <sub>2</sub>
110	0.15	0.15
330	0.47	0.65
550	1.37	3.14
<i>Electrical furnace</i>	0.03	0.02

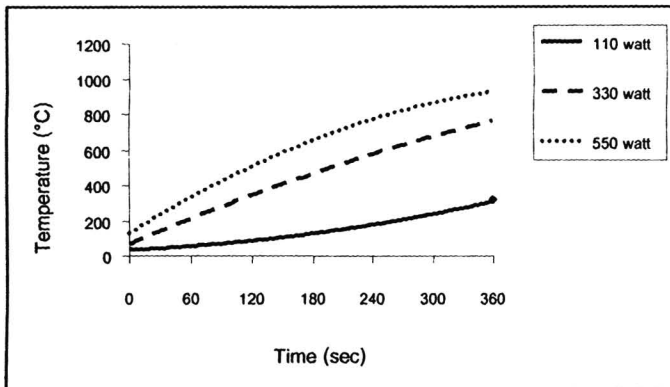
ตารางที่ 4.12 ปริมาตรของ  $\text{H}_2$ ,  $\text{CO}_2$ , และ  $\text{CH}_4$  เปรียบเทียบระหว่างระบบการให้ความร้อนโดยไมโครเวฟและเตาไฟฟ้าที่อุณหภูมิเดียวกันจากงานวิจัยของ A. Domínguez และ

คณ [17]

	Microwave heating	Electrical furnace
$\text{H}_2$	38.0	29.0
$\text{CO}_2$	9.7	11.8
$\text{CH}_4$	4.4	18.4

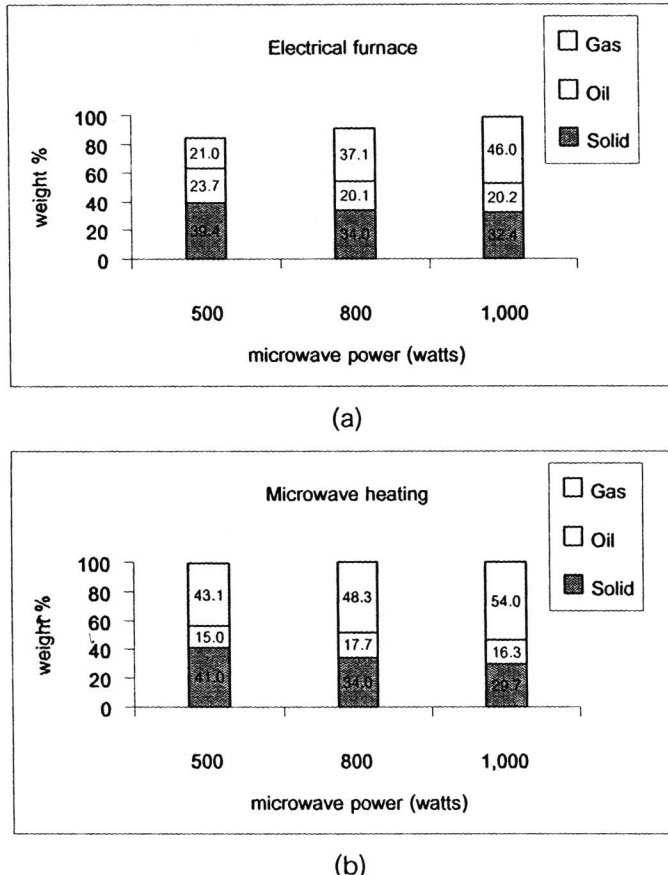
#### 4.4.2 ผลของการกำลังไมโครเวฟ

จากการทดลองพบว่าที่กำลังของไมโครเวฟ 330 และ 550 วัตต์ พบร่วมกับ EVA/NR ทั้งหมดนั้นเกิดการแปรสภาพไปอยู่ในรูปของแข็ง ของเหลว และก๊าซ ยกเว้นที่กำลังของไมโครเวฟ 110 วัตต์ EVA/NR สรุนใหญ่ยังไม่เกิดการ塑性ตัวเนื่องมาจากที่กำลังของไมโครเวฟ 110 วัตต์นั้นไม่สามารถหนีความร้อนให้ SiC นั้นเกิดความร้อนที่สูงมากพอที่ทำให้ EVA/NR นั้นเกิดการ塑性ตัวได้ อุณหภูมิที่เกิดขึ้นจากการรั่วไหลน้ำในไมโครเวฟที่กำลังของไมโครเวฟ 110, 330, และ 550 วัตต์ แสดงดังรูปที่ 4.19 แต่เนื่องจากเกิดประจุขึ้นระหว่างส่วนปลายของเทอร์โมคัปเปิลและ SiC ระหว่างดำเนินการทดลองดังนั้นอุณหภูมิที่ได้จะมีความคลาดเคลื่อนประมาณ 50 °C และจะนี้จึงยังไม่เหมาะสมนักในการวัดอุณหภูมิภายในเตาปฏิกรณ์ไปพร้อมกับดำเนินการทดลอง



รูปที่ 4.19 อุณหภูมิที่เกิดขึ้นที่กำลังของไมโครเวฟ 110, 330, และ 550 วัตต์

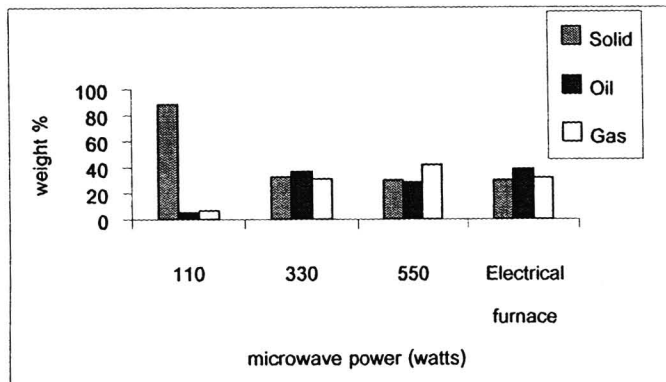
ก้าชผลิตภัณฑ์ที่เกิดขึ้นจากการแปรสภาพทางความร้อนนั้นส่วนหนึ่งเกิดมาจากการทั้งการสลายตัวของของเหลว และของแข็งที่อุณหภูมิสูงกับก้าชที่มีความว่องไวสูงที่เกิดขึ้นในช่วงแรกของปฏิกิริยา ที่ระบบการให้ความร้อนโดยใช้ไมโครเวฟการเกิดก้าชผลิตภัณฑ์นั้นมีอัตราการเกิดที่สูงโดยเฉพาะในช่วง 0-180 วินาทีแรกของการแปรสภาพ แต่ที่เวลา 181-360 วินาทีต่อมาปริมาณของก้าชที่เกิดขึ้นพบว่ามีค่าที่ลดลง ทั้งนี้เนื่องมาจากอุณหภูมิที่เกิดขึ้นจากการเหนี่ยวนำไมโครเวฟในช่วงเวลา 0-180 วินาที นั้นมีค่าที่สูง ประมาณ  $450\text{--}600\text{ }^{\circ}\text{C}$  ซึ่งเป็นอุณหภูมิที่สูงพอที่ EVA/NR สามารถเกิดการสลายตัวได้ ทำให้ EVA/NR นั้น เกิดการสลายตัวไปหมดตั้งแต่เวลาที่ 0-180 วินาที ปริมาณก้าชผลิตภัณฑ์ที่ 181-360 วินาที จึงมีค่าที่ลดลง แต่ในทางกลับกันไม่พบความแตกต่างของก้าชผลิตภัณฑ์ทั้งสองช่วงเวลาที่ที่กำลังของไมโครเวฟ 110 วัตต์ ขึ้นเนื่องมาจากมีอุณหภูมิไม่สูงพอที่จะทำให้ EVA/NR เกิดการสลายตัว นอกจากนี้ที่กำลังของไมโครเวฟที่สูงขึ้นนั้นยังช่วยส่งเสริมให้ของเหลวที่เกิดขึ้นเกิดการสลายตัวต่อไปทำให้สัดส่วนของผลิตภัณฑ์ที่เป็นก้าชนั้นมีค่าที่เพิ่มขึ้นตามไปด้วยซึ่งสอดคล้องกับงานวิจัยของ A. Domínguez และคณะ [14] ที่เปรียบเทียบระหว่างระบบการให้ความร้อนโดยใช้เตาไฟฟ้าและไมโครเวฟต่อการกระจายตัวของของแข็ง ของเหลว และก้าช ดังแสดงในรูปที่ 4.20



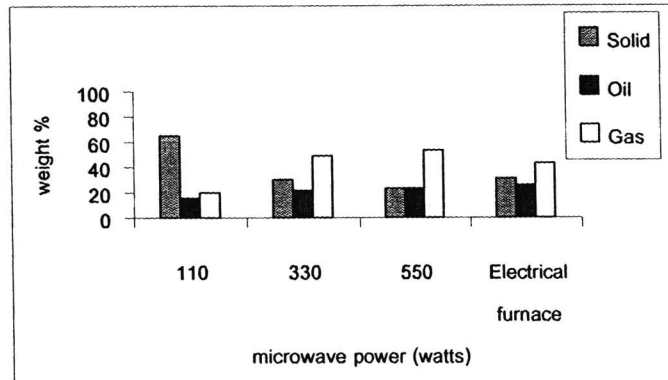
รูปที่ 4.20 การกระจายตัวของผลิตภัณฑ์จากระบบการให้ความร้อนโดยเตาไฟฟ้า (a) และไมโครเวฟ (b) จากผลการศึกษาของ A. Domínguez และคณะ (A. Domínguez et al., 2006)

สำหรับในงานวิจัยนี้พบว่าปริมาณของของแข็ง และของเหลวที่ทุกสภาวะการทดลองมีค่าที่ลดลง ในขณะที่ปริมาณของก๊าซมีค่าที่เพิ่มขึ้นเมื่อกำลังของไมโครเวฟมีค่าที่มากขึ้นทั้งนี้ที่กำลังของไมโครเวฟ 330 และ 550 วัตต์ พบว่าปริมาณของของเหลวและก๊าชนั้นมีสัดส่วนที่ไม่ต่างกันมากนักจากเนื้องາากการที่ SiC นั้นมีอุกหนานี่ยวน้ำให้เกิดความร้อนขึ้นโดยไมโครเวฟแล้วจะแฝความร้อนให้กับ EVA/NR ต่ออีก ทดสอบนึงซึ่งที่กำลังของไมโครเวฟ 330 และ 550 วัตต์ นั้นอาจมีอัตราการแฝความร้อนของ SiC ในอัตราที่ใกล้เคียงกันซึ่งอาจเป็นข้อจำกัดในการคัดซับไมโครเวฟ และการแฝความร้อนของ SiC นั้นเอง เมื่อพิจารณาสัดส่วนของก๊าซผลิตภัณฑ์ระหว่างการให้ความร้อนโดยไมโครเวฟและเตาไฟฟ้าดังรูปที่ 4.21 และรูปที่ 4.22 จะเห็นได้ว่าระบบการให้ความร้อนโดยไมโครเวฟนั้นมีสัดส่วนของก๊าซผลิตภัณฑ์ที่สูงกว่าระบบการให้ความร้อนโดยเตาไฟฟ้าโดยเฉพาะที่อัตราส่วน Ar:O<sub>2</sub> 99:1 ซึ่งปริมาณของก๊าซที่เพิ่มขึ้นนี้ส่วนใหญ่

เป็นผลมาจากการสลายตัวของสารประgoninที่รีดในของแข็ง แต่ผลของระบบการให้ความร้อนนี้ไม่มีผล  
หรือมีผลที่น้อยมากต่อการเปลี่ยนแปลงสัดส่วนของเหลวที่เกิดขึ้น



รูปที่ 4.21 การกระจายตัวของผลิตภัณฑ์ทั้งระบบการให้ความร้อนโดยไมโครเวฟ และเตาไฟฟ้าที่  
อัตราส่วน Ar:O<sub>2</sub> 100:0

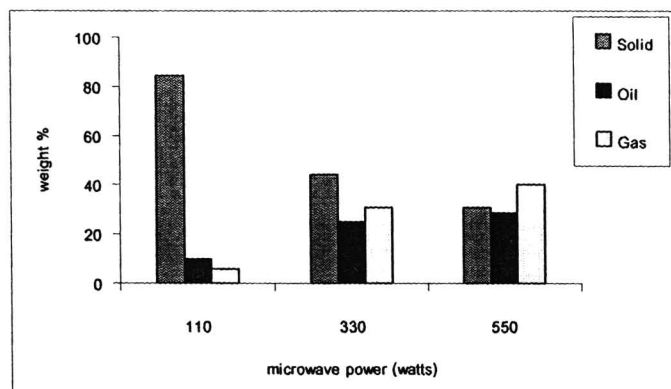


รูปที่ 4.22 การกระจายตัวของผลิตภัณฑ์ทั้งระบบการให้ความร้อนโดยไมโครเวฟ และเตาไฟฟ้าที่  
อัตราส่วน Ar:O<sub>2</sub> 99:1

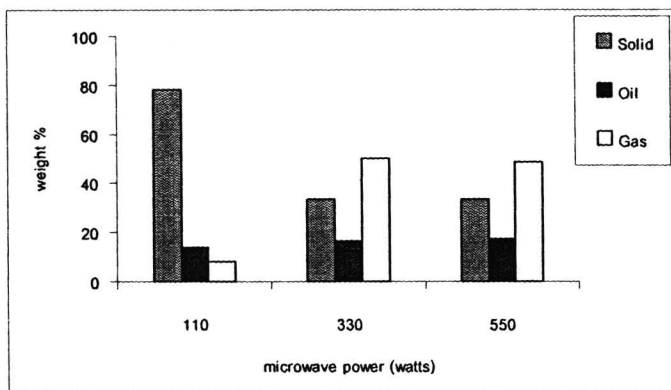
เมื่อทำการเปรียบเทียบผลการทดลองที่ได้ในรูปที่ 4.21 และรูปที่ 4.22 กับงานวิจัยของ A. Dominguez และคณะในรูปที่ 4.20 พบร่วมกันว่ามีความสอดคล้องกันกล่าวคือที่อุณหภูมิในการแปรสภาพที่  
สูงขึ้นสัดส่วนของผลิตภัณฑ์ที่เป็นของแข็ง และของเหลวจะมีค่าที่ลดลง แต่สัดส่วนของก๊าซนั้นจะมีค่าที่  
เพิ่มขึ้น โดยสัดส่วนของของแข็งทั้งระบบการให้ความร้อนโดยไมโครเวฟ และเตาไฟฟ้านั้นพบว่าไม่แตกต่าง  
กันมากนัก แต่บริมาณของของเหลวนั้นระบบการให้ความร้อนโดยไมโครเวฟนั้นจะมีสัดส่วนที่ต่ำกว่าอย่าง  
ชัดเจน และระบบการให้ความร้อนโดยไมโครเวฟนั้นมีสัดส่วนของก๊าซที่สูงกว่าอย่างชัดเจนเช่นกัน

#### 4.4.3 ผลของอัตราส่วน Ar:O<sub>2</sub> ในกําชพา

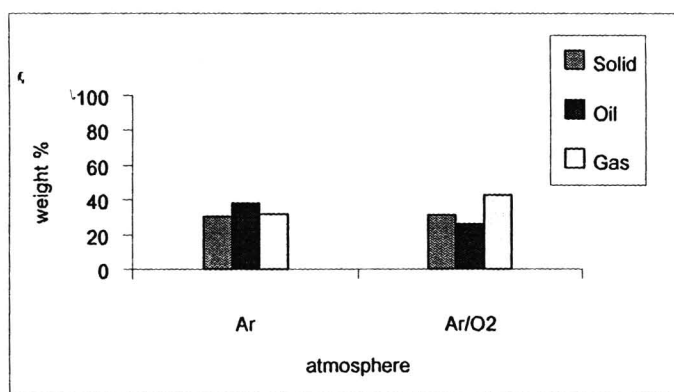
เมื่อพิจารณาอัตราส่วน Ar:O<sub>2</sub> ระหว่าง 100:0 และ 99:1 พบว่าที่อัตราส่วน 99:1 นั้นมีปริมาณของไฮโดรคาร์บอนขนาดเล็ก และ H<sub>2</sub> ในปริมาณที่สูงกว่า ซึ่งปริมาณของไฮโดรคาร์บอนที่สูงขึ้นนี้เกิดเนื่องมาจากการเกิดปฏิกิริยาแก๊สซิฟิเคชันระหว่างของแข็ง ของเหลว และกําชที่เกิดขึ้นระหว่างการดำเนินการทดลอง ซึ่งปฏิกิริยาระหว่างออกซิเจนในระบบกับผลิตภัณฑ์เหล่านี้จะทำให้เกิด CO<sub>2</sub>, CO, และ H<sub>2</sub> หากยิ่งขึ้นซึ่งมีผลทำให้ปริมาณของของแข็ง และของเหลวลดลงหรือมีค่าที่ต่ำกว่าอัตราส่วน Ar:O<sub>2</sub> 100:0 (เปรียบเทียบระหว่างรูปที่ 4.7-4.8 และรูปที่ 4.23-4.24) สำหรับเตาปฏิกิริยไฟฟ้าพบว่าปฏิกิริยาที่เกิดขึ้นนี้เกิดได้ไม่ดีนักในเตาปฏิกิริยไฟฟ้าซึ่งเห็นได้ชัดเจน (รูปที่ 4.25) จากปริมาณของแข็งที่ไม่ต่างกันมากนักระหว่างอัตราส่วน 100:0 และ 99:1 แต่ความแตกต่างของผลิตภัณฑ์ของห้องสองอัตราส่วนนี้จะเห็นได้ชัดเจนจากปริมาณของเหลว และกําชดังตารางที่ 4.13 และที่อัตราส่วน Ar:O<sub>2</sub> 99:1 นั้นพบว่าปริมาณของ H<sub>2</sub> และ CO<sub>2</sub> นั้นมีปริมาณที่สูงกว่าที่อัตราส่วน Ar:O<sub>2</sub> 100:0 ซึ่งจากการวิจัยของ A. Domínguez และคณะ (A. Domínguez et al., 2006) ได้ให้ความเห็นว่าระบบการให้ความร้อนโดยใช้ไมโครเวฟนั้นสามารถช่วยให้ปฏิกิริยาระหว่างกําชที่ว่องไวที่เกิดในตอนแรกของปฏิกิริยากับของแข็งนั้นสามารถเกิดขึ้นได้ดีกว่าระบบการให้ความร้อนโดยการใช้เตาไฟฟ้านั้นก็คือปฏิกิริยาที่ (2) และ (6) นั้นสามารถเกิดได้ดีนั่นเอง ในส่วนของระบบการให้ความร้อนโดยใช้เตาไฟฟ้านั้นสัดส่วนของผลิตภัณฑ์ของแข็ง ของเหลว และกําชนั้นพบว่าเป็นไปในแนวทางเดียวกันกับระบบการให้ความร้อนโดยไมโครเวฟนั้นคือผลิตภัณฑ์ที่เป็นกําชที่อัตราส่วน Ar:O<sub>2</sub> 99:1 นั้นมีค่าที่สูงกว่า (รูปที่ 4.25) ด้วยเหตุผลเดียวกันกับที่กล่าวไปแล้วข้างต้น



รูปที่ 4.23 การกระจายตัวของผลิตภัณฑ์จากการแปลงสภาพทางความร้อนที่อัตราส่วน EVA/NR:SiC 2:1 ที่อัตราส่วน Ar:O<sub>2</sub> 100:0



รูปที่ 4.24 การกระจายตัวของผลิตภัณฑ์จากการแปรสภาพทางความร้อนที่อัตราส่วน EVA/NR:SiC 2:1 ที่อัตราส่วน Ar:O<sub>2</sub> 99:1



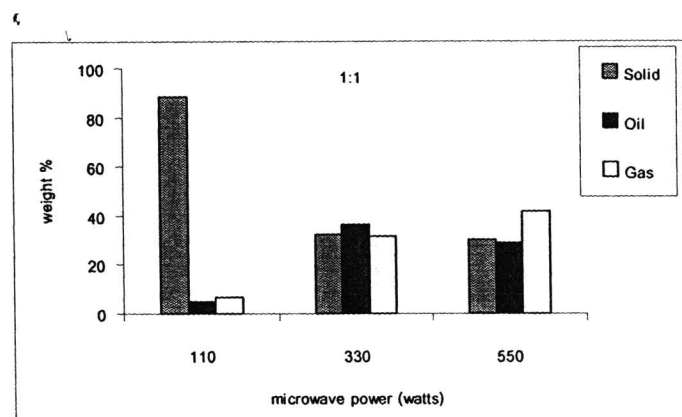
รูปที่ 4.25 การกระจายตัวของผลิตภัณฑ์จากการแปรสภาพทางความร้อนโดยใช้เตาไฟฟ้า เปรียบเทียบระหว่างอัตราส่วน Ar:O<sub>2</sub> 100:0 และ 99:1

ตารางที่ 4.13 สัดส่วนของผลิตภัณฑ์ของแข็ง ของเหลว และก๊าซ จากการแปรสภาพทางความร้อนจากระบบการให้ความร้อนโดยเตาไฟฟ้าที่ 700 °C

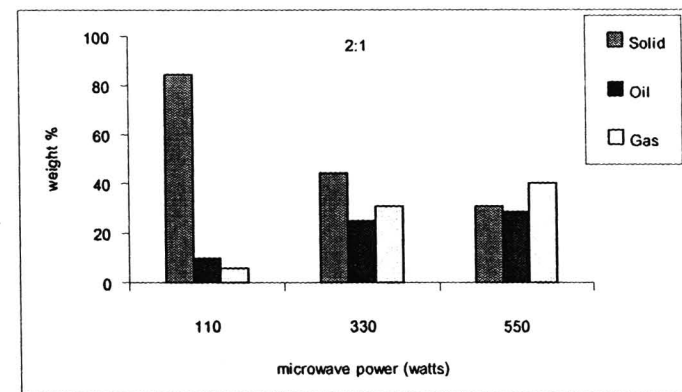
Atmosphere	Weight %		
	Solid	Oil	Gas
Ar	30.3	38.1	31.7
Ar/O <sub>2</sub>	31.2	25.9	42.9

#### 4.4.4 ผลของอัตราส่วน EVA/NR :SiC

จากการศึกษาผลของอัตราส่วนระหว่าง EVA/NR :SiC ที่อัตราส่วนต่างๆ กันนั้นพบว่าผลของอัตราส่วนนี้ต่อการแปรสภาพทางความร้อนนั้นยังไม่เป็นที่ชัดเจนนักดังรูปที่ 4.26 และรูปที่ 4.27 ซึ่งในกรณีของอัตราส่วนเท่ากัน 1:1 นั้นพบว่าปริมาตรส่วนใหญ่ของ EVA/NR และ SiC ที่ผสมกันอยู่นั้นอยู่ในบริเวณที่สามารถรับไม่ได้แต่ในกรณีของอัตราส่วน 2:1 นั้นพบในภายหลังว่าประมาณ 20% โดยปริมาตรของ EVA/NR และ SiC ที่ผสมกันอยู่นั้นอยู่ภายนอกบริเวณที่ไม่สามารถแผ่ไปถึงทำให้มีความร้อนที่ไม่เพียงพอในการแปรสภาพทางความร้อนซึ่งสังเกตได้จากปริมาณของแข็งที่เหลือจากการแปรสภาพทางความร้อนที่อัตราส่วนระหว่าง EVA/NR :SiC เท่ากับ 2:1 โดยเฉพาะที่อัตราส่วน Ar:O<sub>2</sub> 100:0 ซึ่งจากเหตุผลดังกล่าวจึงควรมีการจัดหาแหล่งกำเนิดไมโครเวฟที่ให้คลื่นรังสีที่มีความสม่ำเสมอมากกว่าแหล่งกำเนิดที่ใช้อยู่ในงานวิจัยนี้เพื่อให้สามารถศึกษาถึงอิทธิพลของตัวแปรดังกล่าวได้ดียิ่งขึ้น

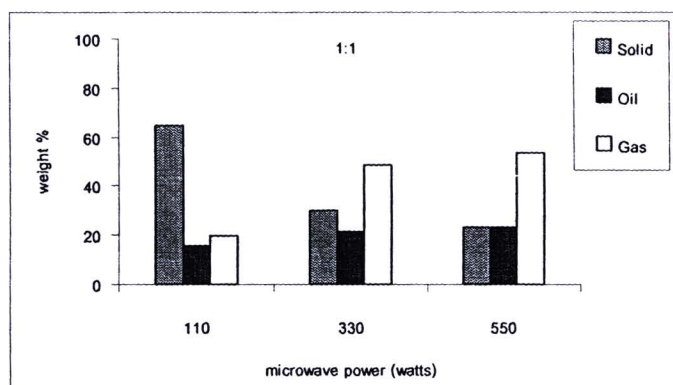


(a)

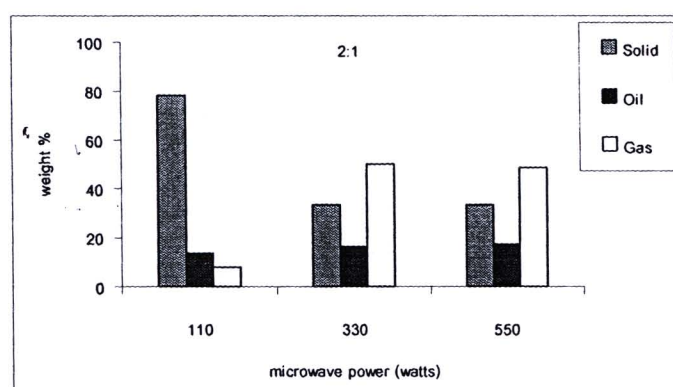


(b)

รูปที่ 4.26 การกระจายตัวของผลิตภัณฑ์ของแข็ง ของเหลว และก๊าซที่อัตราส่วน EVA/NR :SiC เท่ากับ (a) 1:1 และ (b) 2:1 ภายใต้อัตราส่วนระหว่าง Ar:O<sub>2</sub> 100:0



(a)



(b)

**รูปที่ 4.27** การกระจายตัวของผลิตภัณฑ์ของแข็ง ของเหลว และก๊าซที่อัตราส่วน EVA/NR :SiC เท่ากับ (a) 1:1 และ (b) 2:1 ภายใต้อัตราส่วนระหว่าง Ar:O<sub>2</sub> 99:1